

01;04;10

Взаимодействие электромагнитных колебаний с потоком заряженных частиц в неоднородных плазмopodobных структурах

© С.И. Ханкина,¹ В.М. Яковенко,¹ И.В. Яковенко²¹ Институт радиофизики и электроники им. А.Я. Усикова НАН Украины, 61085 Харьков, Украина² Научно-исследовательский и проектно-конструкторский институт „Молния“, 61013 Харьков, Украина

(Поступило в Редакцию 3 ноября 2004 г.)

Построена гидродинамическая теория взаимодействия электромагнитных колебаний с моноэнергетическим потоком заряженных частиц, которые проходят через структуру, содержащую плазменный и диэлектрический слои и обрамленную идеально проводящими плоскостями. Показано, что в такой системе возникают неустойчивости плазменных колебаний, обусловленные преобразованием на границах слоев энергии волн пространственного заряда потока частиц в плазменные колебания. Определены области (зоны) генерации и затухания колебаний.

Одной из важных проблем современной радиофизики является освоение субмиллиметрового и коротковолновой части миллиметрового диапазонов электромагнитных колебаний. На первом месте в этой проблеме стоит задача создания источников генерирования электромагнитных колебаний. Для ее решения используются различные подходы [1,2]. В частности, к ним относится поиск неустойчивых состояний в твердотельных плазмopodobных средах [3,4]. Следует подчеркнуть, что современная технология позволяет создавать проводящие твердотельные структуры: пленки, полупроводники со сверхрешеткой и двумерным электронным газом, структуры типа металл–диэлектрик–полупроводник и др. В этих средах возникают особого рода плазменные колебания, обусловленные наличием границ и их свойствами. Кроме того, в указанных структурах, имеющих субмикронные размеры, реализуются баллистические механизмы переноса заряда. Поэтому в них могут проявляться неустойчивости, в основе которых лежат эффекты черенковского, переходного и тормозного излучения заряженных частиц [4,5].

В предлагаемой работе рассматривается взаимодействие потока заряженных частиц (электронов) с электромагнитными колебаниями в неоднородной плазмopodobной среде. Предполагается, что безграничный нерелятивистский поток частиц, движущийся с постоянной скоростью, пересекает границы структуры, состоящей из слоев с различными электромагнитными свойствами, обрамленных на торцах идеально проводящими поверхностями.

Определяются частоты собственных колебаний электромагнитного поля такой структуры и их декременты (инкременты), обусловленные взаимным преобразованием кинетической энергии частиц пучка и энергии электромагнитного поля.

Механизм взаимодействия потока частиц с ограниченной холодной плазмой может быть описан либо на языке частица–волна (колебание), либо волна–волна.

В первом случае для характеристики свойств электронов пучка используется кинетическое уравнение. При этом возмущенный поток частиц представляет собой набор индивидуальных возбуждений [6,7]. Во втором случае используется гидродинамика, а взаимодействие потока с материальной средой реализуется через волны пространственного заряда (ВПЗ). Именно в этом приближении решается поставленная задача на основе уравнений электростатики и гидродинамики. Использование уравнений электростатики оправдано тем, что фазовые скорости исследуемых волн предполагаются малыми по сравнению со скоростью света.

Если в пучке можно пренебречь тепловым движением частиц, то его взаимодействие с материальной средой описывается следующими уравнениями:

$$\operatorname{rot} \mathbf{E} = 0, \quad \operatorname{div} \mathbf{D} = 4\pi en, \quad (1)$$

$$\frac{\partial n}{\partial t} + \operatorname{div}(n_0 \mathbf{v} + n \mathbf{v}_0) = 0, \quad \frac{\partial \mathbf{v}}{\partial t} + (\mathbf{v}_0 \nabla) \mathbf{v} = \frac{e}{m_0} \mathbf{E}. \quad (2)$$

Здесь e , m_0 — заряд и масса электронов пучка; n_0 , n , \mathbf{v}_0 , \mathbf{v} — постоянные и возмущенные значения их плотности и скорости; $\mathbf{v}_0 \parallel OY$.

Вектор электрической индукции \mathbf{D} в каждом слое связан с электрическим полем \mathbf{E} материальным уравнением. В плазменном слое оно имеет вид

$$\mathbf{D} = \varepsilon_0 \mathbf{E} + 4\pi \int_{-\infty}^t \mathbf{j}(t') dt', \quad (3)$$

где ε_0 — диэлектрическая проницаемость решетки.

Ток электронов проводимости $\mathbf{j} = eN_0 \mathbf{u}$ удовлетворяет уравнению непрерывности

$$e \frac{\partial N}{\partial t} + \operatorname{div} \mathbf{j} = 0. \quad (4)$$

Уравнение Пуассона запишется

$$\operatorname{div} \varepsilon_0 \mathbf{E} = 4\pi e(N + n). \quad (5)$$

Скорость электронов \mathbf{u} находится из уравнения движения

$$\frac{\partial \mathbf{u}}{\partial t} = \frac{e}{m} \mathbf{E}. \quad (6)$$

Здесь m , N_0 , N — эффективная масса, равновесная и возмущенная концентрации электронов проводимости. В диэлектрическом слое, естественно, $N_0 = 0$, а диэлектрической постоянной ε приписывается индекс, соответствующий номеру слоя.

Систему координат выбираем следующим образом. Плоскости $y = -d_1$ и $y = d_2$ являются идеально проводящими. Области 1 ($-d_1 \leq y \leq -a/2$) и 2 ($a/2 \leq y \leq d_2$) занимают среды с диэлектрическими постоянными ε_1 и ε_2 соответственно. Между ними ($-a/2 \leq y \leq a/2$) находится плазменный слой. Электронный пучок движется вдоль оси Y от катода ($y = -d_1$) к аноду ($y = d_2$).

Зависимость всех переменных величин в уравнениях (1)–(6) от времени и координат предполагается экспоненциальной $\sim \exp[i(\mathbf{q}\mathbf{r} - \omega t)]$, где ω — частота, $\mathbf{q} = (q_x, q_y, 0)$ — волновой вектор. Колебания вдоль оси Z однородны. Решение системы уравнений в среде 1 имеет вид (множитель $\exp i(q_x x - \omega t)$ опущен)

$$n(y) = \sum_{k=1}^2 A_k \exp(iq_{yk}y), \quad (7)$$

$$E_x(y) = E_x^l(y) + E_x^t(y); \quad E_y(y) = -\frac{i}{q_x} \frac{\partial E_x}{\partial y};$$

$$E_x^l(y) = -\frac{4\pi i e q_x}{\varepsilon_1} \sum_{k=1}^2 \frac{A_k}{q_{yk}^2} \exp(iq_{yk}y);$$

$$E_x^t(y) = \sum_{k=1}^2 B_k \exp(\chi_k y), \quad (8)$$

$$v_x(y) = v_x^l(y) + v_x^t(y), \quad v_y(y) = -\frac{i}{q_x} \frac{\partial v_x}{\partial y},$$

$$v_x^l(y) = \frac{1}{n_0} \sum_{k=1}^2 \frac{(\omega - q_{yk}v_0)}{q_{yk}} A_k \exp(iq_{yk}y);$$

$$v_x^t(y) = \frac{ie}{m_0 \omega} E_x^t(y). \quad (9)$$

В выражениях (7)–(9) введены следующие обозначения: $q_{y1,2} = \omega/v_0 \pm q_1$, $q_1 = \omega_b/v_0 \sqrt{\varepsilon_1}$, $\chi_{1,2} = \pm q_x$, $\omega_b^2 = 4\pi e^2 n_0/m_0$; A_k, B_k — произвольные константы.

Аналогичным образом запишутся решения в плазменной среде и диэлектрике 2. Только при этом необходимо ввести новые обозначения для произвольных констант и заменить ε_1 на ε_2 в среде 2 и ε_1 на

$$\varepsilon(\omega) = \varepsilon_0 - \frac{\omega_0^2}{\omega^2} \quad \left(\omega_0^2 = \frac{4\pi e^2 N_0}{m} \right)$$

в плазме.

Видно, что в рассматриваемой структуре существуют электростатические поля двух типов: поперечные ($\mathbf{qE}^l = 0$) и продольные \mathbf{E}^t поля — быстрые и медленные ВПЗ, для которых $(\mathbf{qE}^t) \neq 0$.

Для решения поставленной задачи система уравнений (1)–(6) должна быть дополнена граничными условиями. Очевидно, что на поверхности идеально проводящей среды тангенциальные компоненты электрического поля равны нулю, т. е.

$$E_x \Big|_{y=-d_1} = 0, \quad E_x \Big|_{y=d_2} = 0. \quad (10)$$

Поскольку существуют ВПЗ, то наряду с обычными электродинамическими граничными условиями необходимо сформулировать граничные условия для гидродинамических величин, т. е. для возмущенных значений концентрации и скорости электронов пучка. Такими условиями являются равенства нулю концентрации и нормальной составляющей скорости электронов на поверхности металла при $y = -d_1$ (на катоде)

$$n_1 \Big|_{y=-d_1} = 0, \quad v_{y1} \Big|_{y=-d_1} = 0. \quad (11)$$

Эти условия известны как граничные условия Пирса [8].

На границе диэлектрик–плазменный слой непрерывны тангенциальная составляющая электрического поля и нормальная компонента вектора электрической индукции. Кроме того, должны выполняться условия непрерывности потока вещества и потока импульса, т. е. равны возмущенные концентрации и нормальные компоненты скорости пучка. Чтобы избежать громоздких вычислений, рассматривается плазменный слой малой толщины $q_x a \ll 1$, $a\omega/v_0 \ll 1$.

В этом случае граничные условия при $y = -a/2$ и $y = a/2$ можно перенести на плоскость $y = 0$. Тогда при $y = 0$ непрерывны величины E_{x1} , n , v_y

$$E_{x1} = E_{x2}, \quad n_1 = n_2, \quad v_{y1} = v_{y2}. \quad (12)$$

Однако нормальная компонента вектора электрической индукции D_y испытывает разрыв, вызванный зарядами, образованными в тонком плазменном слое.

Для нахождения граничных условий на D_y проинтегрируем по толщине a уравнения Пуассона. В результате получим

$$D_y \left(\frac{a}{2} \right) - D_y \left(-\frac{a}{2} \right) + iq_x D_x(0)a = -4\pi e [N(0) - n(0)]a. \quad (13)$$

Здесь в качестве D_x , N , n взяты их средние значения, т. е. значения на плоскости $y = 0$.

Интегрируя далее по толщине слоя уравнения непрерывности и принимая во внимание уравнения движения, получим выражения для $N(0)$ и $n(0)$

$$N(0) = \frac{ieq_x N_0}{m\omega} E_x(0); \quad n(0) = \frac{ieq_x n_0}{m_0 \omega} E_x(0). \quad (14)$$

Если $q_x a \ll 1$, $\varepsilon_0 \sim \varepsilon_1 \sim \varepsilon_2$ и $\omega_b^2/\omega^2 \ll 1$, соотношение (11) принимает вид

$$D_{y2}(0) - D_{y1}(0) = \frac{i\omega_0^2}{\omega^2} q_x a E_{x1}(0). \quad (15)$$

Из граничных условий находим дисперсионное соотношение, описывающее взаимодействие плазменных колебаний с потоком электронов:

$$\omega^2(\varepsilon_1 \operatorname{cth} q_x d_1 + \varepsilon_2 \operatorname{cth} q_x d_2) - \omega_0^2 q_x a = 2 \frac{i\omega_b^2 q_x v_0}{\omega} \Gamma,$$

где

$$\Gamma = -\Gamma_0 + \Gamma_1 \exp[i\omega\tau_1] + \Gamma_2 \exp[i\omega\tau_2] + \Gamma_3 \exp[i\omega\tau],$$

$$\Gamma_0 = \operatorname{cth}^2 q_x d_1 + \operatorname{cth}^2 q_x d_2 + \operatorname{cth} q_x d_1 \operatorname{cth} q_x d_2 - 1,$$

$$\Gamma_j = (\operatorname{cth} q_x d_1 + \operatorname{cth} q_x d_2) \frac{s_j}{\operatorname{sh} q_x d_j},$$

$$s_j = \cos q_j d_j - i \frac{\omega \sin q_j d_j}{2q_j v_0} \quad (j = 1, 2),$$

$$\Gamma_3 = \frac{1}{\operatorname{sh} q_x d_1 \operatorname{sh} q_x d_2} \left[\frac{i\omega}{2q_1 v_0} \sin q_1 d_1 - s_2 \cos q_1 d_1 \right],$$

$$d = d_1 + d_2, \quad \tau_j = \frac{d_j}{v_0} \quad (j = 1, 2), \quad \tau = \frac{d}{v_0}. \quad (16)$$

При выводе уравнения (16) использовались следующие условия:

$$q_x \ll \frac{\omega}{v_0}, \quad \omega_b^2 \ll \omega^2. \quad (17)$$

Левая часть уравнения (16) определяет спектр собственных колебаний электромагнитного поля в исследуемой структуре в отсутствие пучка.

Если диэлектрические проницаемости сред 1 и 2 не зависят от частоты, т.е. $\varepsilon_1 = \operatorname{const}$, $\varepsilon_2 = \operatorname{const}$, то частота собственных колебаний определяется из условия

$$\omega^2 = \frac{\omega_0^2 q_x a}{\varepsilon_1 \operatorname{cth} q_x d_1 + \varepsilon_2 \operatorname{cth} q_x d_2}. \quad (18)$$

При $a = 0$ колебания существуют в случае частотной дисперсии диэлектрической проницаемости сред ε_1 , ε_2 (или одной из сред) при условии, что одна из этих величин отрицательна. Такая ситуация может быть реализована в структуре металл–диэлектрик–полупроводник–металл ($a = 0$, $\varepsilon_1 = \varepsilon_d = \operatorname{const}$, $\varepsilon_2 = \varepsilon_0 - \Omega^2/\omega^2$). Тогда

$$\omega^2 = \frac{\Omega^2}{\varepsilon_d \operatorname{cth} q_x d_1 + \varepsilon_0 \operatorname{cth} q_x d_2}. \quad (19)$$

Правая часть уравнения (16) описывает взаимодействие плазменных колебаний с потоком заряженных частиц, движущихся в неоднородной среде. Первый член

не содержит экспоненциальных множителей и характеризует процесс преобразования поперечных колебаний структуры в ВПЗ на границе $y = 0$. Действительно, для уединенной границы, когда $q_x d_{1,2} \gg 1$, $q_{1,2} d_{1,2} \gg 1$, все члены, кроме первого в правой части (16), исчезают. В этом случае поток частиц, налетающих на границу раздела диэлектрик–полупроводник, является гладким по плотности. Его модуляция поперечным полем происходит на границе. Возникшие на ней возмущения электронной концентрации уносятся потоком частиц в глубь среды $y > 0$, что и приводит к затуханию плазменных колебаний. Частота и декремент колебаний равны ($\omega = \omega' + \delta\omega$, $\delta\omega/\omega' \ll 1$)

$$\omega' = \omega_0 \left(\frac{q_x a}{\varepsilon_1 + \varepsilon_2} \right)^{1/2}, \quad (20)$$

$$\operatorname{Im} \delta\omega = -\frac{2\omega_b^2 v_0}{\omega_b^2 a}. \quad (21)$$

Если ввести поверхностную плотность $N_s = N_0 a$, то

$$\operatorname{Im} \delta\omega = -\frac{2n_b v_0}{N_s}. \quad (22)$$

Заметим, что бесстолкновительное затухание имеет место только при выполнении условия $2\omega_b^2 v_0/\omega_0^2 a \geq v/2$, где v — характерная частота электронов проводимости.

Учет влияния конечных размеров слоев 1 и 2 приводит к возникновению обратной связи ВПЗ с поперечными колебаниями, которая обусловлена их взаимными преобразованиями на границах $y = -d_1$, $y = d_2$. Эти процессы характеризуются соответствующими экспоненциальными множителями. Нарастание или затухание колебаний зависит от соотношений между периодом колебаний и временем пролета частицей соответствующих расстояний.

Проанализируем влияние границ $y = -d_1$, $y = d_2$ в различных частных случаях. Предположим, что выполняются условия $q_x d_1 \gg 1$, $q_1 d_1 \gg 1$ и $q_2 d_2 \ll 1$. Тогда частота, инкремент (декремент) плазменных колебаний имеют вид

$$\omega'^2 = \frac{\omega_0^2 q_x a}{\varepsilon_1 + \varepsilon_2 \operatorname{cth} q_x d_2}, \quad (23)$$

$$\operatorname{Im} \delta\omega = \frac{\omega_b^2 v_0}{\omega^2 a} \Gamma, \quad (24)$$

где

$$\Gamma = \frac{1 + \operatorname{cth} q_x d_2}{\operatorname{sh} q_x d_2} \varphi(q_x, \omega\tau_2);$$

$$\varphi(q_x, \omega\tau_2) = \cos \omega\tau_2 + \frac{\omega\tau_2}{2} \sin \omega\tau_2 - \operatorname{ch} q_x d_2.$$

Функция $\varphi(q_x, \omega\tau_2)$ может принимать как положительные, так и отрицательные значения. Области положительных значений $\varphi(q_x, \omega\tau_2)$ соответствуют нарастанию амплитуды колебаний (или зонам генерации). Так, $\varphi(q_x, \omega\tau_2) > 0$, если $\sin \omega\tau_2 > 0$; $\omega\tau_2/2 \gg \operatorname{ch} q_x d_2$.

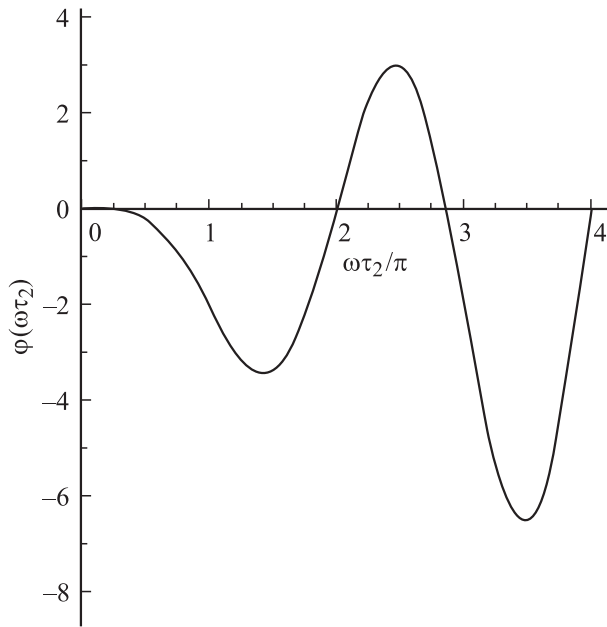


Рис. 1. Области затухания и нарастания колебаний в структуре металл–диэлектрик–полупроводник–диэлектрик–металл при $d_1 \rightarrow \infty, q_x d_2 \ll 1$.

На рис. 1 приведена зависимость $\varphi(\omega\tau_2)$, когда $q_x d_2 \ll 1$. Из рисунка видно, что первая зона генерации плазменных колебаний возникает при выполнении неравенств $2\pi < \omega\tau_2 < 3\pi$. В каждой зоне генерации $\varphi(\omega, \tau_2)$ имеет максимальные значения, а следовательно, и инкремент колебаний является наибольшим, если $\omega\tau_2 = (\pi/2) + 2\pi l, l = 1, 2, \dots$ (l — номер зоны). Такая ситуация может быть реализована, например, при прохождении потока электронов через тонкую металлическую пластину с отверстиями. В такой пластине, как известно, существуют плазменные колебания [9].

Если $a = 0$ и диэлектрическая проницаемость среды 2 обладает частотной дисперсией $\varepsilon_2 = \varepsilon_2(\omega)$, то в структуре вакуум–полупроводник–металл при $q_x d_1 \gg 1$ осуществляется взаимодействие потоков электронов с колебаниями, частота и инкремент которых равны

$$\omega' = \frac{\Omega}{(\varepsilon_0 + \varepsilon_d \operatorname{th} q_x d_2)}, \quad (25)$$

$$\operatorname{Im} \delta\omega = \frac{i\omega_b^2 q_x v_0}{\Omega^2} \Gamma. \quad (26)$$

Экспериментально взаимодействие потока частиц с колебаниями (25) можно осуществить, пропуская его через отверстия полупроводниковой пластины, расположенной на металлической подложке. Поскольку граничные гидродинамические условия на плоскостях $y = -d_1$ и $y = 0$ слабо различаются, то аналогичная картина возникает в структуре металл–диэлектрик–полупроводник, когда $q_x d_2 \gg 1, q_2 d_2 \gg 1$. В этом случае частота и инкременты (декременты)

описываются выражениями (23)–(26), в которых надо заменить d_2 на d_1, ε_1 на $\varepsilon_2, \text{ а } \varepsilon_2$ на ε_1 .

Наконец, в структуре металл–диэлектрик–плазменный слой–диэлектрик–металл ($\varepsilon_1 = \operatorname{const}, \varepsilon_2 = \operatorname{const}$) при $q_x d_{1,2} \ll 1, q_{1,2} d_{1,2} \ll 1$ частота собственных колебаний оказывается равной

$$\omega' = \omega_0 q_x \left(\frac{a d_1 d_2}{\varepsilon_1 d_2 + \varepsilon_2 d_1} \right)^{1/2}. \quad (27)$$

При прохождении тока через такую структуру имеем

$$\operatorname{Im} \delta\omega = \frac{\omega_b^2 v_0}{\omega_0^2 a q_x^2 d_1 d_2} \psi(\omega\tau_1, \omega\tau_2; \omega\tau). \quad (28)$$

Здесь

$$\begin{aligned} \psi(\omega\tau_1, \omega\tau_2, \omega\tau) &= \frac{d}{d_1} \left(\cos \omega\tau_1 + \frac{\omega\tau_1}{2} \sin \omega\tau_1 - 1 \right) \\ &+ \frac{d}{d_2} \left(\cos \omega\tau_2 + \frac{\omega\tau_2}{2} \sin \omega\tau_2 - 1 \right) \\ &- \left(\cos \omega\tau + \frac{\omega\tau}{2} \sin \omega\tau - 1 \right). \end{aligned}$$

Зависимость $\psi = \psi(\omega\tau_2)$ при различных соотношениях между d_1 и d_2 приведена на рис. 2. Сравнение поведения функции ψ с функцией $\varphi(\omega\tau_2)$ (рис. 1) ($d_1 \rightarrow \infty$) показывает, что конечная величина d_1 приводит к более благоприятным условиям для генерации плазменных колебаний — первая зона генерации возникает раньше, на интервале $0 < \omega\tau_2 < \pi$.

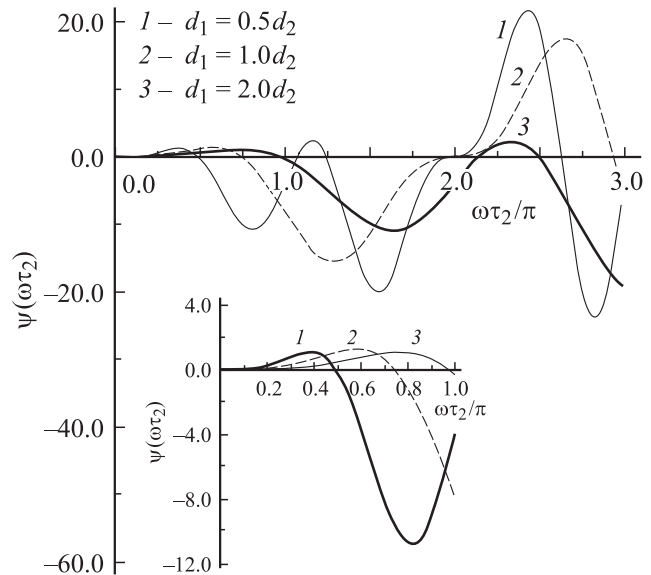


Рис. 2. Сравнение инкрементов (декрементов) колебаний при различных соотношениях размеров диэлектрических слоев, отделяющих проводящую пластину от металла.

Приведем некоторые оценки. На частоте $\omega' \approx \approx 3 \cdot 10^{12} \text{ s}^{-1}$ при $q_x = 10^3 \text{ cm}^{-1}$ $a \sim d_1 \sim d_2 \approx 10^{-4} \text{ cm}$, $\varepsilon_1 = \varepsilon_2 = 4$ концентрация электронов проводимости должна достигать величины $N_0 \sim 10^{20} \text{ cm}^{-3}$. При инжекции электронов, скорость которых $v_0 \approx 3 \cdot 10^8 \text{ cm} \cdot \text{s}^{-1}$, а плотность $n_b \sim 10^{13} \text{ cm}^{-3}$, инкремент неустойчивости плазменных колебаний $\text{Im} \delta\omega \sim 10^{10} \text{ s}^{-1}$. Для развития неустойчивости необходимо, чтобы величина $\text{Im} \delta\omega$ превосходила затухание, связанное с частотой столкновений электронов ($\text{Im} \delta\omega > \nu/2$).

Таким образом, при прохождении потока заряженных частиц через структуру, содержащую слои с различными электромагнитными свойствами, возможно генерирование плазменных колебаний. Возникновение генерирования зависит от отношения периода колебаний к времени пролета частицей расстояния между границами раздела слоев. Частота колебаний определяется свойствами плазменного слоя. Механизм генерирования обусловлен процессами преобразования на границах энергии ВПЗ в плазменные колебания.

Список литературы

- [1] Андронов А.В., Захарьин А.О., Ясевич И.Н., Зиновьев Н.Н. // Письма в ЖЭТФ. 2004. Т. 79. Вып. 8. С. 448–451.
- [2] Морозов Ю.А., Нефедов И.С., Алешкин В.Я. // ЖТФ. 2004. Т. 74. Вып. 5. С. 71–76.
- [3] Михайловский А.В. Теория плазменных неустойчивостей. М.: Атомиздат, 1970. 294 с.
- [4] Белецкий Н.Н., Булгаков А.А., Ханкина С.И., Яковенко В.М. Плазменные неустойчивости и нелинейные явления в полупроводниках. Киев: Наукова думка, 1984. 192 с.
- [5] Белецкий Н.Н., Светличный В.Я., Халамейда Д.Д., Яковенко В.М. Электромагнитные явления СВЧ диапазона в неоднородных полупроводниковых структурах. Киев: Наукова думка, 1991. 216 с.
- [6] Яковенко В.М., Яковенко И.В. // Радиофизика и радиоастрономия. 1999. Т. 4. № 4. С. 376–387.
- [7] Яковенко В.М., Яковенко И.В. // ДАН Украины. 2000. № 1. С. 70–74.
- [8] Pierce J.J. // Appl. Phys. 1944. Vol. 15. P. 7211.
- [9] Ebbesen et al. // Nature. 1998. Vol. 391. P. 667. УФН. 1999. Т. 169. № 11. С. 1272.